

مقایسه کارکرد مدل های مفهومی در شبیه سازی هیدرولوژیک رودخانه

مهدی شیخ گودرزی^۱؛ بهمن جباریان امیری^{*۲} و حسین آذرنیوند^۳

۱ - دانش آموخته دکتری محیط زیست، دانشگاه تهران، کرج، ایران

۲ - دانشیار، گروه محیط زیست، دانشگاه تهران، کرج، ایران

۳ - استاد، گروه احیای مناطق خشک و کوهستانی، دانشگاه تهران، کرج، ایران

(تاریخ دریافت ۹۵/۱۱/۲۲ - تاریخ پذیرش ۹۶/۰۱/۲۹)

چکیده:

مدل های هیدرولوژیک بارش-رواناب ابزارهای مهمی در پژوهه های منابع آبی هستند. به طور کلی کارایی این گروه مدل ها وابسته به انتخاب مناسب پارامترهای مدل است. براین اساس روش های متعددی برای برآورد پارامترهای هیدرولوژیک ابداع شده اند. تحقیق حاضر با هدف مقایسه عملکرد مدل های هیدرولوژیک مفهومی TANK، SIMHYD و AWBM که از قابلیت برآورد غیر مستقیم پارامترهای مدل بهره می برند، در شبیه سازی جریان دبی حوزه آبخیز بابلرود واقع در استان مازندران شکل گرفت. فرآیند کالیبراسیون خودکار این مدل ها با کاربرد الگوریتم جستجوی تکاملی ژنتیک و استفاده از توابع هدف NSE و RMSE به عنوان عوامل تعیین کننده سطح خطاب و آستانه های توقف شبیه سازی طراحی شد. در این روال داده های هواشناسی و آب شناسی دما، تبخیر و تعرق، بارش و دبی در مقیاس روزانه از سازمانهای مربوطه تهیه و پس از اعتبارسنجی مقدماتی و ترمیم گپ های موجود به بخش های تعادل سنگی، آموزش و تست تقسیم بندی شدند. براساس نتایج حاصل، نمایه NSE برای گام آموزش و تست مدل TANK (۰/۵۹ تا ۰/۷۲)، و نمایه RMSE برای گام آموزش مدل SIMHYD (۰/۸۳) و گام تست مدل TANK (۰/۱۵) را برترین شبیه ساز معرفی می کند. مطابق با نتایج نمایه های تحلیلی مشخصه های جریان، به طور کلی شبیه سازی های انجام شده در مقادیر دبی کم آبی (به استثنای مدل TANK)، دبی متوسط و دبی پرآبی جریان با تطابق قابل قبولی انجام شده است. این در صورتی است که شبیه سازی شبیب منحنی تداوم جریان که به نوعی بیانگر شدت تغییرات است (به استثنای مدل TANK در گام آموزش)، نتایج قابل قبولی ارایه نکرد. لیکن با توجه به ضعف و قوتهای مطرح شده، مدل های مذکور پس از انجام تست های مقدماتی در شرایط متفاوت اقلیمی کشور، می توانند به عنوان شبیه سازهایی قابل قبول جهت مدیریت منابع آبی خصوصا در حوزه های فاقد اطلاعات آماری مورد استفاده قرار گیرند.

کلیدواژگان: بارش-رواناب، شبیه سازی دبی، مدل هیدرولوژیک مفهومی، بهینه سازی خودکار، حوزه آبخیز بابلرود.

در تحقیق حاضر اقدام به استفاده از مدل های موجود در بسته نرم افزاری RRL شامل TANK، SIMHYD و AWM و جهت شبیه سازی فرآیند بارش-رواناب حوضه با بل رو واقع در استان مازندران گردید.

۲. مواد و روش ها

۱.۱. معرفی منطقه مورد مطالعه

به طور کلی انتخاب حوزه آبخیز مورد مطالعه در تحقیق حاضر با هدف بررسی قابلیت مدلسازی فرآیندهای هیدرولوژیک موثر بر پدیده بارش-رواناب در مقیاس مکانی بزرگ صورت گرفت. براساس نظر Beven & Binley, (2014) سطح حوزه آبخیز از مهمترین عواملی است که بر شدت فرآیندها تاثیر داشته و رفتار هیدرولوژیکی شدیدا تحت تاثیر اثر مقیاس است. بر این اساس، حوزه آبخیز با بل رو و (۱۷-۰۱۴) با وسعت تقریبی ۵۰۰ هکتار به نمایندگی از حوزه های آبخیز بزرگ^۵ در محدوده اکولوژیک جنوب حوزه آبریز دریای مازندران واقع در استان مازندران (شکل ۱).

بررسی وضعیت اقلیم منطقه با روش دومارتن معرف آب و هوای معتدل و مرطوب است. مهمترین رودخانه این حوزه رو و با بل رو است. بررسی وضعیت کاربری و پوشش اراضی در حوزه بیان کننده وجود مناطق شهری، جنگلی (گونه های درختی بید، توسکا، توت، انجیر، تبریزی و اوچا)، مراتع، کشاورزی (باغات، کشت آبی و دیم) و اراضی فاقد پوشش (بایر) است. ویژگی های فیزیکی و اکولوژیک این منطقه نیز در جدول (۱) ارایه شده است.

۱. مقدمه

محیط زیست و منابع آبی در سرتاسر جهان هیچ گاه به اندازه عصر حاضر مورد تهدید قرار نگرفته اند. افزایش خطر احتمالی سیلاب و کاهش چشمگیر در تنوع زیستی در اثر تخریب و توسعه در اکوسیستم های رودخانه ای، همه از این موارد هستند. وظیفه کشف و شناسایی پاسخهای مناسب برای این تهدیدات در عصر حاضر، به طور کلی بر عهده متخصصان هیدرولوژیک است (Bormann *et al.*, 2009). طی سالیان اخیر، هیدرولوژیست ها ابزارهای زیادی چون مدل های تجربی^۱، مفهومی^۲ (مفهومی)، توزیعی^۳ و مدل های آماری تحلیل منطقه ای^۴ را برای پیش بینی فرآیندهای هیدرولوژیک توسعه داده اند (Ekenberg, 2016). کاربرد هر کدام از این ابزارها می تواند تحت چهار چوب و شرایط ویژه ای به اهداف و تصمیم گیری های مدیران در مدیریت بحران های طبیعی کمک شایانی نماید. براین اساس، تمایل به کاربرد مدل های هیدرولوژیک در پژوهش های منابع آب و افزایش توجه به افزایش کارایی مدل های بارش-رواناب به طور روز افزونی در حال افزایش می باشد.

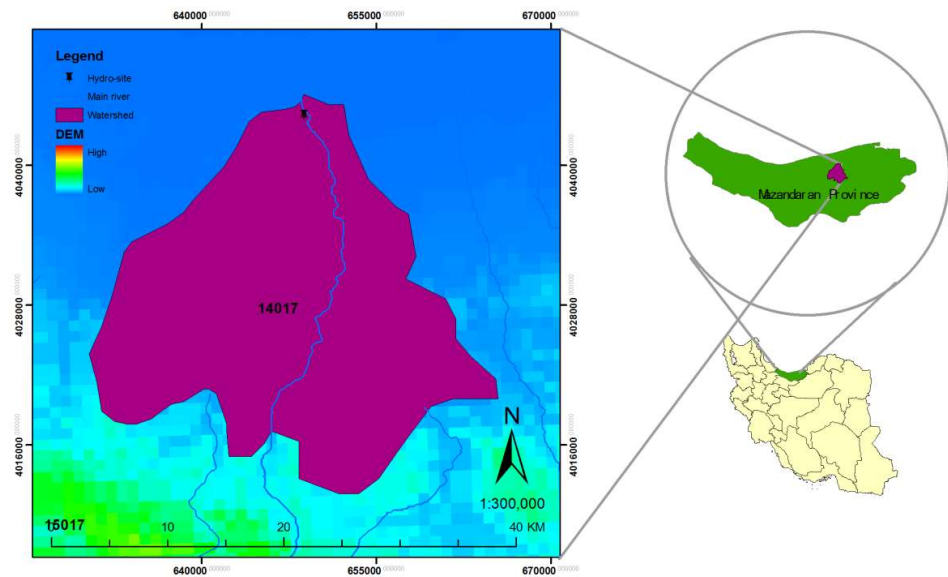
با توجه به دامنه وسیع مدل های هیدرولوژیکی موجود، بررسی کارایی مدل ها برای اهداف مختلف مدیریتی ضروری می باشد. مدل هایی که با توجه به نقص و کمبود آمار طولانی مدت و دقیق بتوانند نتایج قابل قبولی ارائه دهند، می توانند به عنوان ابزاری کارآمد در خدمت مدیر حوزه آبخیز باشند. از این رو

1- Tentative Models

2- Conceptual (Lumped) Model

3- Distributed

4- Statistical-Regional Based Model



شکل ۱- محدوده مطالعاتی

جدول ۱- ویژگی های فیزیکی و اکولوژیک حوزه آبخیر مطالعاتی

نام حوزه	استان	% شیب متوسط حوزه	ارتفاع	سال ساخت	مختصات		شماره حوزه
					UTM-X	UTM-Y	
بابروود	مازندران	۲/۹۸	۱۳۴	۱۳۲۸	-۱۴۸۲۳۶	۱۳۵۰۰۲۷	۱۴-۰۱۷
دورة آماری							
دوره آماری	بارش		دبي		دما		شماره حوزه
	میانگین	انحراف معیار	میانگین	انحراف معیار	میانگین	انحراف معیار	
۱۳۸۶-۱۳۸۹	۱/۷۲	۵/۲۷	۱/۱۷	۲/۰۶	۱۵/۶۰	۶/۹۰	۱۴-۰۱۷
۱۳۸۹-۱۳۹۰	۱/۷۸	۴/۶۶	۱/۸۳	۱/۸۹	۱۵/۳۸	۶/۷۷	
مساحت							
مساحت (هکتار)	% کشاورزی	% مناطق شهری	% جنگل	% مرتع	% اراضی باир	% پهنه آبی	شماره حوزه
۵۴۲	۰/۰۱	۰/۰۰	۰/۵۰	۰/۴۹	۰/۰۰	۰/۰۰	۱۴-۰۱۷

سازی انتخاب و به عنوان مبنای تصمیم گیری جهت انتخاب سری های شبیه سازی شده بهینه مورد استفاده قرار گرفتند. همچنین جهت بررسی کارایی و ارایه یک فضای توصیفی تحلیلی از مدل سازی انجام گرفته، از مشخصه های جریان میانگین رواناب ویژه سالیانه (MASR^۱)، شیب منحنی تداوم جریان (mFDC^۲)، آماره دبی کم آبی نرمال شده (NLF^۳)، آماره دبی پر آبی نرمال شده (NHF^۴)، آماره ضریب

۲.۰.۲ مدل های هیدرولوژیک

۱۰.۲.۲ کالیبراسیون

در تحقیق حاضر از مدل های SIMHYD، AWBM و مدل TANK استفاده شد. کالیبراسیون پارامترهای مربوط به مدل های هیدرولوژیک مفهومی مورد بررسی بر مبنای الگوریتم ژنتیک (GA^۱) انجام شد. در این روال توابع هدف مجذور میانگین مربعات (RMSE) و ناش ساتکلیف (NSE) نیز به عنوان معیار تنظیم کننده سطح خطا در فرآیند بهینه

- 2- Mean Annual Specific Runoff
- 3- Slope of Flow Duration-Curve
- 4- Normalized Low-Flow Statistic
- 5- Normalized High-Flow Statistic

- 1- Genetic Algorithm

$$NSE = 1 - \left(\frac{\sum_{i=1}^N (Q_{obs} - Q_{sim})^2}{\sum_{i=1}^N (Q_{obs} - \bar{Q}_{obs})^2} \right) \quad (1)$$

$$RMSE = \sqrt{\frac{1}{N} \sum_{i=1}^N (Q_{ci} - Q_{qi})^2} \quad (2)$$

۲.۰.۲ پیش پردازش و آماده سازی اطلاعات مورد نیاز

داده های هواشناسی و هیدرومتریک مورد استفاده در تحقیق حاضر به ترتیب عبارتند از مقادیر روزانه بارش^۴ (P)، تبخیر و تعرق واقعی^۵ (ET_A)، و دبی یا رواناب سطحی^۶ (Q) می باشند. در این چهار چوب پس از اعتبارسنجی مقدماتی و با توجه به افزایش کیفیت ثبت داده های محیطی طی سالهای اخیر، تلاش گردید از همپوشانی زمانی داده های ایستگاه بابلرود بین سالهای ۱۳۸۶ تا ۱۳۹۰ استفاده شد. لازم به توضیح است که مقادیر بارش و دبی از اطلاعات ایستگاه های سنجش وزارت نیرو استخراج گردیدند. این داده ها پس از بررسی مقدماتی کیفیت و ترمیم گپ های موجود، تبدیل واحد شده (استاندارد سازی برمبنای مساحت حوزه و تغییر مقادیر دبی از m^3/s) و درنهایت محاسبه مقادیر تبخیر و تعرق واقعی نیز به کمک اطلاعات دمای هوای ثبت شده توسط سنجنده های سازمان هواشناسی کشور مطابق FAO، 1998؛^۳ و^۴ انجام گرفت (Allen *et al.*, 1998; Heryansyah, .2001; Verstraeten *et al.*, 2005;

$$ET_0 = 0.0135 (T + 17.78) \times RS \quad (3)$$

تغییرات جریان (CV^۱) و نمایه هیدروگراف (HF^۲) استفاده شد (Viglione *et al.*, 2013; USGS, 2008).

پیش از اجرای آنالیز، داده های مورد استفاده به دو بخش آموزش (معادل ۷۰٪) و تست (معادل ۳۰٪) تقسیم بندی شدند. لازم به توضیح است که در هر گام، مقایسه با معیارهای اولیه خطا در بخش کوچکی معادل ۱۰٪ داده های ابتدایی ورودی به مدل سازی حذف (گرم کردن مدل^۳)، و در سنجش کلی مورد اعمال قرار نگرفت. توابع هدف مورد استفاده در تحقیق حاضر عبارتند از: نمایه ناش ساتکلیف (NASH) و خطای مجدد میانگین مربعات (RMSE). انتخاب این نمایه ها بر مبنای نتایج حاصل و پیشنهادات سایر پژوهشگران در موقعیت های مختلف انجام شده است (Nash & Sutcliffe, 1970; Gooijer & Hyndman, 2006; Armstrong, 1992; Willmott & Collopy, 2005). توابع هدف مذکور به عنوان عامل تعیین کننده سطح خطا در طی گام های کالیبراسیون و اعتبارسنجی تحقیق حاضر اعمال و بهینه سازی الگوریتم های جستجو را تا رسیدن به آستانه مطلوب مدیریت می کنند (طی تعداد تکرارهای درنظر گرفته شده). براین اساس، فرمول توابع هدف مورد بررسی بصورت ذیل ارایه می گردد (معادلات ۱ و ۲)؛ که در آن Q_{obs} و Q_{sim} به ترتیب جریان رواناب مشاهداتی و شبیه سازی شده و \bar{Q}_{obs} میانگین جریان مشاهده شده در N نمونه در طی دوره زمانی مورد مطالعه می باشد).

-
- 4- Rainfall
 - 5- Actual Evapotranspiration
 - 6- Discharge

-
- 1 -Coefficient of Variation
 - 2-HF, Hydrograph Flashiness
 - 3-Warm-up

مشاهداتی و شبیه سازی شده می باشد. نتایج بررسی منحنی تداوم جریان نیز (به استثنای آستانه های پرآبی تا مقادیر میانه گام تست) نتایج قابل قبولی ارایه داد. براساس این نمودارها (شکل ۲)، مقادیر پیکهای پرآبی، کم آبی و شبیه عمومی منحنی تداوم جریان به طور مناسبی شبیه سازی شده است. لیکن مقادیر دارای خطای بالا که بلحاظ بصری قابل تشخیص باشد نیز با دوایر قرمز رنگ مشخص شده است.

۲.۳. مدل SIMHYD

شکل (۳) نتایج شبیه سازی دبی و منحنی تداوم جریان مربوط به مدل SIMHYD (در طی گام های آموزش و تست) را نمایش می دهد. همچنین مشخصات پارامترهای بهینه سازی شده نیز در جدول (۳) ارایه شده است. بر اساس این نتایج، پارامترهای ظریب نفوذ و ظرفیت ذخیره رطوبتی خاک بیشترین دامنه تغییر را دارند. نزدیک ترین مقادیر آستانه ای بهینه سازی شده مربوط به آستانه پایینی ضریب جریان ورودی و آستانه بالایی پارامتر ضریب تعدیه می باشد. بررسی نمودارهای دبی بیانگر تطابق عمومی خوب میان سری های مشاهداتی و شبیه سازی شده می باشد. نتایج بررسی منحنی تداوم جریان نیز (به استثنای اکثر مقادیر گام تست) نتایج قابل قبولی ارایه داد. براساس این نمودارها (شکل ۳)، مقادیر پیکهای پرآبی، کم آبی و شبیه عمومی منحنی تداوم جریان به طور مناسبی شبیه سازی شده است. لیکن مقادیر دارای خطای بالا که بلحاظ بصری قابل تشخیص باشد نیز با دوایر قرمز رنگ مشخص شده است.

$$Ev = Kc \times ET_0 \quad (4)$$

که در آن Ev, RS, T, ET_0 و Kc به ترتیب معادل مقادیر تبخیر و تعرق پتانسیل، میانگین دما، مقادیر تابش خورشیدی^۱، تبخیر و تعرق واقعی و ضرایب گیاهی است.

۳. نتایج

مدلسازی بارش-رواناب در تحقیق حاضرطی دو گام آموزش و تست و با کاربرد مدل های مفهومی TANK و SIMHYD و AWBM انجام شد. پارامترهای مربوط به مدل های مذکور نیز طی فرآیند کالیبراسیون (با کاربرد الگوریتم جستجوی ژنتیک و توابع هدف NSE و RMSE) بهینه سازی شدند. ویژگی های توصیفی و تحلیلی مربوط به جریانهای شبیه سازی شده و مشخصات پارامترهای بهینه سازی شده طی بخش های ذیل ارایه می گردد.

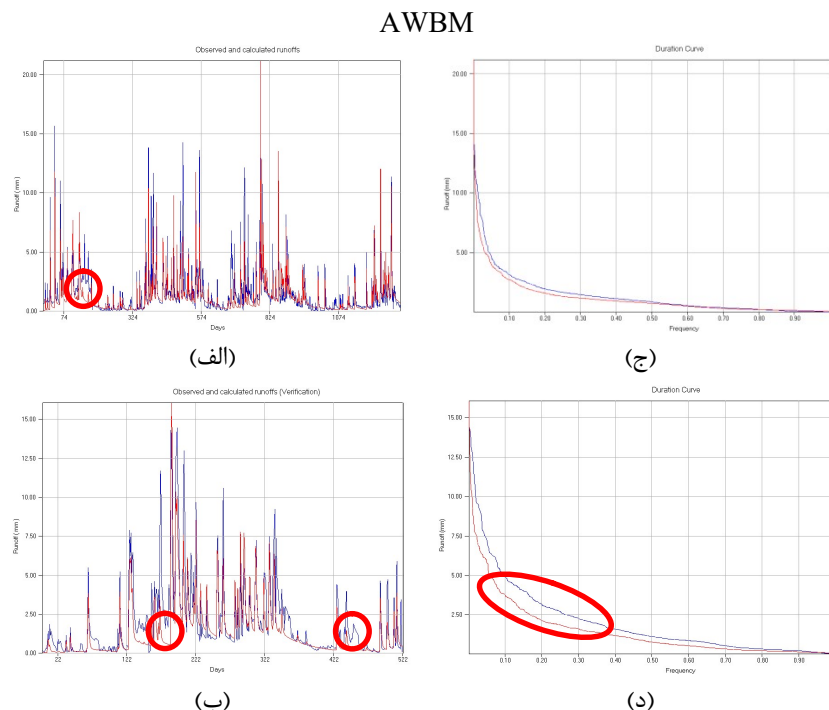
۱.۳. مدل AWBM

شکل (۲) نتایج شبیه سازی دبی و منحنی تداوم جریان مربوط به مدل AWBM (در طی گام های آموزش و تست) را نمایش می دهد. همچنین مشخصات پارامترهای بهینه سازی شده نیز در جدول (۲) ارایه شده است. بر اساس این نتایج، پارامترهای C_1, C_2, C_3 که به ترتیب مرتبط با ظریف نگهداشت اول تا سوم هستند بیشترین دامنه تغییر را دارند. نزدیک ترین مقادیر آستانه ای بهینه سازی شده مربوط به آستانه پایینی پارامتر ظرفیت نگهداشت اول (C_1) و آستانه بالایی پارامتر ضریب بازگشت جریان سطحی روزانه (KSurf) می باشد. بررسی نمودارهای دبی بیانگر تطابق عمومی خوب میان سری های

ارتفاع بالایی (H11) و پایینی رواناب سطحی تانک اول (H12) بیشترین دامنه تغییر را دارند. نزدیک ترین مقادیر آستانه ای بهینه سازی شده مربوط به آستانه پایینی ضریب رواناب پایه تانک چهارم (a41) و آستانه بالایی پارامتر سطح آب مخزن در تانک دوم(C2) می باشد. بررسی نمودارهای دبی بیانگر تطابق عمومی خوب میان سری های مشاهداتی و

۳.۳.۲ مدل TANK

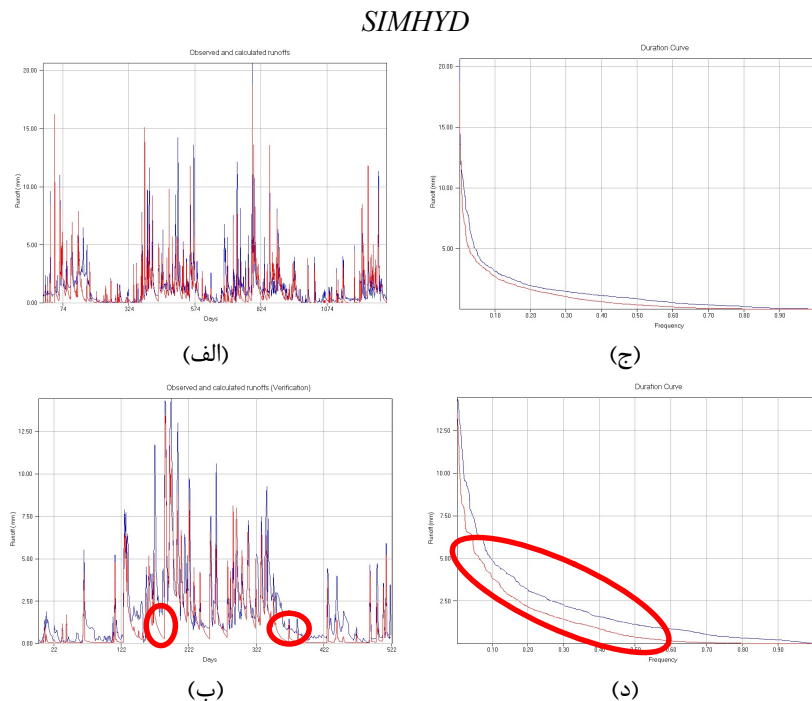
شکل (۴) نتایج شبیه سازی دبی و منحنی تداوم جریان مربوط به مدل TANK (در طی گام های آموزش و تست) را نمایش می دهد. همچنین مشخصات پارامترهای بهینه سازی شده نیز در جدول (۴) ارایه شده است. بر اساس این نتایج، پارامترهای



شکل ۲- نتایج حاصل از مدل AWBM (الف مقادیر دبی مشاهداتی و شبیه سازی گام آموزش؛ ب مقادیر دبی مشاهداتی و شبیه سازی گام تست؛ ج منحنی تداوم جریان گام آموزش؛ د منحنی توادم جریان گام تست)

جدول ۲- نتایج بهینه سازی پارامترهای مدل AWBM

پارامتر	مقدار اولیه	محدهوده تغییر پارامتر	مقادیر بهینه	توصیف
A1	۰/۱۳	۰/۰۰	۰/۱۳	ذخیره سطحی اول
A2	۰/۴۳	۰/۰۰	۰/۴۳	ذخیره سطحی دوم
BFI	۰/۴۵	۰/۰۰	۰/۴۸	شاخص جریان پایه
C1	۷/۰۰	۵۰/۰۰	۰/۰۵	ظرفیت نگهداشت سطحی اول
C2	۷۰/۰۰	۲۰۰/۰۰	۰/۱۶	ظرفیت نگهداشت سطحی دوم
C3	۱۵۰/۰۰	۵۰۰/۰۰	۱۷۶/۱۲	ظرفیت نگهداشت سطحی سوم
KBase	۰/۹۵	۱/۰۰	۰/۴۳	ضریب بازگشت جریان پایه روزانه
KSurf	۰/۳۵	۱/۰۰	۰/۹۷	ضریب بازگشت جریان سطحی روزانه



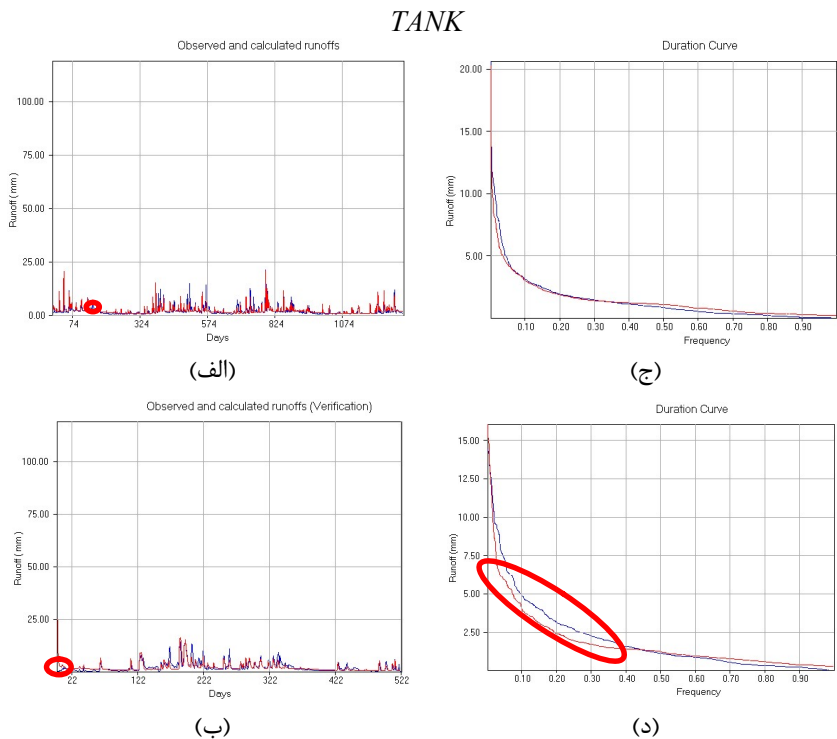
شکل ۳- نتایج حاصل از مدل SIMHYD (الف مقادیر دبی مشاهداتی و شبیه سازی گام آموزش؛ ب مقادیر دبی مشاهداتی و شبیه سازی گام تست؛ ج منحنی تداوم جریان گام آموزش؛ د منحنی توادم جریان گام تست)

جدول ۳- نتایج بهینه سازی پارامترهای مدل SIMHYD

مقادیر بهینه	حدوده تغییر پارامتر	مقدار اولیه	پارامتر
۰/۲۸	۰/۰۰	۱/۰۰	ضریب جریان پایه
۰/۲۴	۰/۰۰	۵/۰۰	آستانه نفوذناپذیری
۱۲۸/۷۳	۰/۰۰	۴۰۰/۰۰	ضریب نفوذ
۰/۵۶	۰/۰۰	۱۰,۰۰	شكل نفوذ
۰/۰۱	۰/۰۰	۱/۰۰	ضریب جریان ورودی
۰/۸۴	۰/۰۰	۱/۰۰	سهم نفوذپذیر
۰/۰۹	۰/۰۰	۵,۰۰	ظرفیت ذخیره برگاب بارش
۰/۹۸	۰/۰۰	۱/۰۰	ضریب تعذیه
۲۱۶/۴۸	۱/۰۰	۵۰۰/۰۰	ظرفیت ذخیره رطوبتی خاک

لحوظ بصری قابل تشخیص باشد نیز با دوایر قرمز رنگ مشخص شده است.

شبیه سازی شده می باشد. نتایج بررسی منحنی تداوم جریان نیز (به استثنای آستانه های پرآبی گام تست) نتایج قابل قبولی ارایه داد. براساس این نمودارها (شکل ۴)، مقادیر پیکهای پرآبی، کم آبی و شبیه عمومی منحنی تداوم جریان به طور مناسبی شبیه سازی شده است. لیکن مقادیر دارای خطای بالا که به



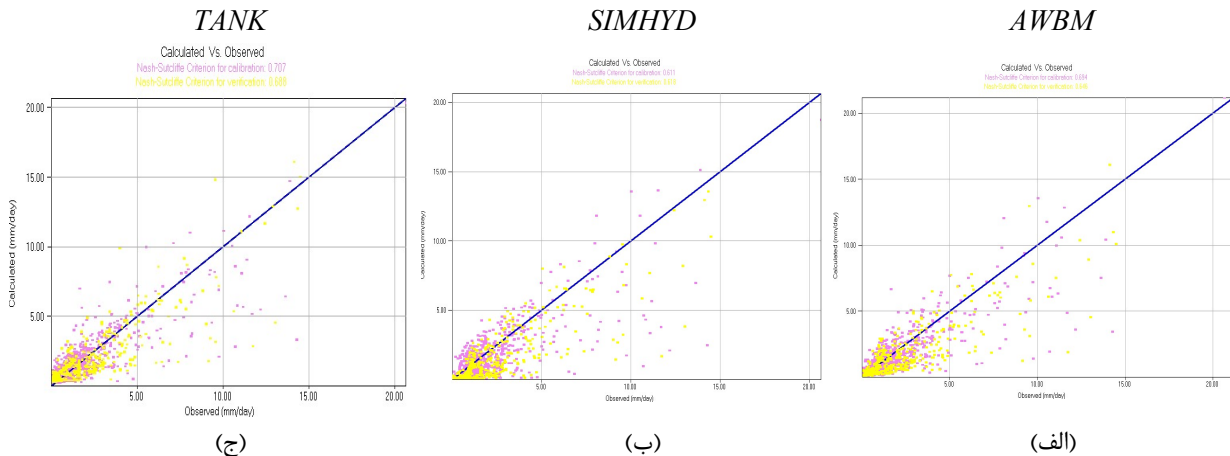
شکل ۴- نتایج حاصل از مدل TANK (الف مقادیر دبی مشاهداتی و شبیه سازی گام آموزش؛ ب مقادیر دبی مشاهداتی و شبیه سازی گام تست؛ ج منحنی تداوم جریان گام آموزش؛ د منحنی توادم جریان گام تست)

جدول ۴- نتایج بهینه سازی پارامترهای مدل TANK

توصیف	مقادیر بهینه	محدوده تغییر پارامتر	مقدار اولیه	پارامتر
ارتفاع بالایی رواناب سطحی تانک اول	۵۹/۸۰	۰/۰۰	۵۰۰/۰۰	H11
ضریب رواناب اول سطحی تانک اول	۰/۲۶	۰/۰۰	۱/۰۰	a11
ضریب رواناب دوم سطحی تانک اول	۰/۲۳	۰/۰۰	۱/۰۰	a12
ضریب رواناب میانی دوم	۰/۸۱	۰/۰۰	۱/۰۰	a21
ضریب رواناب زیرپایه تانک سوم	۰/۶۴	۰/۰۰	۱/۰۰	a31
ضریب رواناب پایه تانک چهارم	۰/۰۲	۰/۰۰	۱/۰۰	a41
ضریب رواناب مربوط به خروجی هر تانک	۰/۰۳	۰/۰۰	۵۰۰	alpha
ضریب نفوذ تانک اول به دوم	۰/۲۸	۰/۰۰	۱/۰۰	b1
ضریب نفوذ تانک دوم به سوم	۰/۰۵	۰/۰۰	۱/۰۰	b2
ضریب نفوذ تانک سوم به چهارم	۰/۰۹	۰/۰۰	۱/۰۰	b3
سطح آب مخزن در تانک اول	۹۹/۰۲	۰/۰۰	۱۰۰/۰۰	C1
سطح آب مخزن در تانک دوم	۹۹/۸۵	۰/۰۰	۱۰۰/۰۰	C2
سطح آب مخزن در تانک سوم	۴۷/۵۲	۰/۰۰	۱۰۰/۰۰	C3
سطح آب مخزن در تانک چهارم	۵۴/۴۹	۰/۰۰	۱۰۰/۰۰	C4
ارتفاع پایینی رواناب سطحی تانک اول	۰/۲۲	۰/۰۰	۳۰۰/۰۰	H12
ارتفاع رواناب سطحی تانک دوم	۵۱/۳۷	۰/۰۰	۱۰۰/۰۰	H21
ارتفاع رواناب سطحی تانک سوم	۱۷/۲۸	۰/۰۰	۱۰۰/۰۰	H31
ارتفاع رواناب سطحی تانک چهارم	۱۳/۴۳	۰/۰۰	۱۰۰/۰۰	H41

نقاط متعددی در حاشیه بالایی و پایینی محور قطری دیده می شود که نشان از داده های پرت و عدم توانایی مدل ها در شبیه سازی مقادیر عمدها پرآبی است.

همچنین شکل (۵) نیز پراکنش نقاط دبی شبیه سازی شده در برابر نقاط مشاهداتی را در اسکتر پلاتهای سه گانه ای نشان می دهد. مطابق این نمودارها، پراکنش نقاط به طور عمومی حول محور قطری بوده لیکن



شکل ۵- پراکنش داده های دبی شبیه سازی شده و مشاهداتی برای گام های آموزش و تست (الف مدل AWBM؛ ب مدل SIMHYD؛ ج مدل TANK)

مطابق با نتایج ارزیابی نمایه میانگین رواناب ویژه سالیانه از شبیه سازی انجام شده توسط مدل های مفهومی در گام آموزش، برترین و ضعیف ترین شبیه سازی به ترتیب برای مدل TANK (با $+6\%$ - اختلاف نسبت به مقدار مشاهداتی) و SIMHYD (با -28% - اختلاف نسبت به مقدار مشاهداتی) بدست آمد. براساس نتایج گام تست، برترین و ضعیف ترین شبیه سازی نیز به ترتیب برای مدل TANK (با -7% - اختلاف نسبت به مقدار مشاهداتی) و SIMHYD (با -35% - اختلاف نسبت به مقدار مشاهداتی) بدست آمد. مطابق با نتایج ارزیابی نمایه شبی منحنی تداوم جریان از شبیه سازی انجام شده در گام آموزش، برترین و ضعیف ترین شبیه سازی به ترتیب برای مدل TANK (با -4% - اختلاف نسبت به مقدار مشاهداتی) و AWBM (با -34% - اختلاف نسبت به مقدار مشاهداتی) بدست آمد. براساس نتایج گام تست، برترین و ضعیف ترین شبیه سازی نیز به ترتیب برای مدل TANK (با -15% - اختلاف نسبت به مقدار مشاهداتی) و SIMHYD (با -15% - اختلاف نسبت به مقدار مشاهداتی) بدست آمد.

۴.۳. صحت شبیه سازی

بررسی صحت شبیه سازی انجام شده (عملکرد مدل های مفهومی مورد استفاده) نیز با استفاده از معیارهای خطای RMSE و NSE (توابع هدف) و همچنین مشخصه های تحلیلی وضعیت جریان انجام شد. نتایج این ارزیابی در جدول (۵) ارایه شده است. بر اساس نتایج نمایه NSE برترین شبیه سازی TANK عمومی در گام آموزش و تست برای مدل TANK (۰/۷۲ و ۰/۸۴) بدست آمد. دامنه تغییرات این نمایه برای کلیه مدل ها نیز برای گام های آموزش و تست به ترتیب (۰/۵۹ و ۰/۷۲) و (۰/۸۴ و ۰/۷۱) بدست آمد. مطابق نتایج نمایه RMSE نیز برترین شبیه سازی عمومی در گام آموزش برای مدل SIMHYD (۰/۱۵) و در گام تست برای مدل TANK (۰/۸۳) بدست آمد. دامنه تغییرات این نمایه برای کلیه مدل ها نیز برای گام های آموزش و تست به ترتیب (۰/۸۳ و ۰/۱۵) و (۰/۳۲ و ۰/۱۵) بدست آمد.

نسبت به مقدار مشاهداتی) بدست آمد. مطابق با نتایج ارزیابی نمایه ضریب تغییرات جریان از شبیه‌سازی انجام شده در گام آموزش، برترین و ضعیف ترین شبیه سازی به ترتیب برای مدل AWBM (با ۲٪ اختلاف نسبت به مقدار مشاهداتی) و SIMHYD (با ۲۴٪ اختلاف نسبت به مقدار مشاهداتی) بدست آمد. براساس نتایج گام تست، برترین و ضعیف‌ترین شبیه‌سازی نیز به ترتیب برای مدل AWBM (با ۵٪ اختلاف نسبت به مقدار مشاهداتی) و SIMHYD (با ۲۶٪ اختلاف نسبت به مقدار مشاهداتی) بدست آمد.

همچنین مطابق با نتایج ارزیابی نمایه هیدروگراف از شبیه‌سازی انجام شده در گام آموزش، برترین و ضعیف‌ترین شبیه سازی به ترتیب برای مدل TANK (با ۲٪ اختلاف نسبت به مقدار مشاهداتی) و SIMHYD (با ۳۳٪ اختلاف نسبت به مقدار مشاهداتی) بدست آمد. براساس نتایج گام تست، برترین و ضعیف ترین شبیه‌سازی نیز به ترتیب برای مدل AWBM (با ۸٪ اختلاف نسبت به مقدار مشاهداتی) و SIMHYD (با ۲۰٪ اختلاف نسبت به مقدار مشاهداتی) بدست آمد.

مدل TANK (با ۴۲٪ اختلاف نسبت به مقدار مشاهداتی) و SIMHYD (با ۵۳٪ اختلاف نسبت به مقدار مشاهداتی) بدست آمد.

مطابق با نتایج ارزیابی نمایه دبی کم آبی نرمال شده از شبیه‌سازی انجام شده در گام آموزش، برترین و ضعیف‌ترین شبیه سازی به ترتیب برای مدل SIMHYD (با اختلاف ناچیز نسبت به مقدار مشاهداتی) و TANK (با ۴۳٪ اختلاف نسبت به مقدار مشاهداتی) بدست آمد. براساس نتایج گام تست، برترین و ضعیف ترین شبیه سازی نیز به ترتیب برای مدل SIMHYD (با اختلاف ناچیز ۳٪ نسبت به مقدار مشاهداتی) و TANK (با ۰٪ اختلاف نسبت به مقدار مشاهداتی) بدست آمد. مطابق با نتایج ارزیابی نمایه دبی پرآبی نرمال شده از شبیه‌سازی انجام شده در گام آموزش، برترین و ضعیف‌ترین شبیه سازی به ترتیب برای مدل AWBM (با ۶٪ اختلاف نسبت به مقدار مشاهداتی) و SIMHYD (با ۱۶٪ اختلاف نسبت به مقدار مشاهداتی) بدست آمد. براساس نتایج گام تست، برترین و ضعیف ترین شبیه سازی نیز به ترتیب برای مدل AWBM (با ۴٪ اختلاف نسبت به مقدار مشاهداتی) و SIMHYD (با ۲۵٪ اختلاف نسبت به مقدار مشاهداتی).

جدول ۵- ارزیابی عملکرد شبیه‌سازی مدل‌های مفهومی برای گام‌های آموزش و تست

مدل هیدرولوژیک	گام کالیبرسیون	معیار ارزیابی		مشخصه‌های جریان									
		RMSE	NSE	MASR		mFDC		%۹۵nq		%۰۵nq		CV	
TANK	آموزش	۱/۰۹	۰/۷۲	۵۱۶/۱۸	۵۴۷/۵۴	۳/۹۰	۳/۷۳	۰/۱۶	۳/۰۲	۱/۱۵	۰/۴۱	۰/۴۲	۰/۵۶
SIMHYD		۰/۸۳	۰/۶۰		۳۶۹/۱۹		۲/۷۱		۰/۰۰	۳/۳۱	۳/۸۷	۱/۳۷	۱/۷۰
AWBM		۰/۹۹	۰/۵۹		۴۴۷/۷۳		۲/۵۸		۰/۰۸	۳/۵۰	۳/۵۰	۱/۴۰	۱/۴۰
TANK	تست	۰/۱۵	۰/۸۴	۶۵۶/۲۲	۶۰۹/۲۹	۷/۲۲	۴/۱۵	۰/۲۰	۳/۲۳	۱/۱۸	۰/۲۱	۰/۲۵	۰/۳۰
SIMHYD		۰/۱۷	۰/۷۱		۴۲۳/۸۸		۳/۳۸		۰/۰۰	۳/۵۱	۴/۳۹	۱/۲۹	۱/۶۳
AWBM		۰/۳۲	۰/۸۰		۵۱۷/۸۳		۳/۹۵		۰/۱۱	۳/۶۴	۳/۶۴	۱/۳۵	۱/۳۵

کاملترین پایگاه داده کمی و کیفی داده های اقلیم-شناسی و آب شناسی در حوزه های آبخیز استانهای شمالی کشور که حاصل از انجام یک پیش مطالعه (Sheikh Goodarzi, 2013) می باشد، انتخاب گردید. حوزه آبخیز بابلرود که جزو حوزه های با مساحت بیش از ۵۰۰ هکتار می باشد، حوزه ای کم شیب (شیب متوسط زیر ۳٪)، کم ارتفاع (ارتفاع متوسط ۱۳۴ متر از سطح دریاهای آزاد) و واجد ایستگاه های اندازه گیری جریان قدیمی است (قدمت بیش از ۶۵ سال) که بیش از ۹۹٪ از سطح زیر پوشش این حوزه را جنگل و مراعت در بر گرفته اند. بر اساس نتایج حاصل، نمایه NSE برای گام آموزش و RMSE تست مدل TANK (۰/۵۹ تا ۰/۷۲)، و نمایه برای گام آموزش مدل SIMHYD (۰/۸۳) و گام تست مدل TANK (۰/۱۵) را برترین شبیه ساز معرفی می کند.

مطابق با نتایج نمایه های تحلیلی مشخصه های جریان نیز برترین شبیه سازی انجام شده از میانگین رواناب ویژه سالیانه به ترتیب برای گام های آموزش و تست توسط مدل TANK (با ۶٪+ و ۷٪- اختلاف نسبت به مقدار مشاهداتی) بدست آمد. برترین شبیه سازی انجام شده از شیب منحنی تداوم جریان به ترتیب برای گام های آموزش و تست توسط مدل TANK (با ۴٪- و ۴٪+ اختلاف نسبت به مقدار مشاهداتی) بدست آمد. برترین شبیه سازی انجام شده از دبی کم آبی نرمال شده به ترتیب برای گام های آموزش و تست توسط مدل SIMHYD (با اختلاف ناچیز نسبت به مقدار مشاهداتی) بدست آمد. برترین شبیه سازی انجام شده از دبی پرآبی نرمال شده به ترتیب برای گام های آموزش و تست توسط مدل AWBM (با ۶٪+ و ۴٪+ اختلاف نسبت به مقدار مشاهداتی)

۴. بحث و نتیجه گیری

تحقیق حاضر با هدف مقایسه عملکرد مدل های هیدرولوژیک مفهومی در شبیه سازی جریان دبی حوزه آبخیز بابلرود واقع در استان مازندران شکل گرفت. بر این اساس و با درنظر گرفتن توانایی مدل های مفهومی در شبیه سازی فرآیندهای هیدرولوژیک خصوصاً در حوزه های آبخیز قادر اطلاعات آماری، AWBM و SIMHYD.TANK مدل های مفهومی جهت شبیه سازی پدیده بارش-رواناب انتخاب شدند.

فرآیند کالیبراسیون این مدل ها با کاربرد الگوریتم جستجوی تکاملی ژنتیک و استفاده از توابع هدف NSE و RMSE به عنوان عوامل تعیین کننده سطح خطأ و آستانه های توقف شبیه سازی (ارزیابی Chai & Draxler, 2014). با توجه به این نکته که نمایه NSE عموماً با ترسیم گرافیکی نتایج مشاهداتی تطابق بیشتری داشته، لیکن نمایه RMSE نیز معیاری کارا از میزان خطای شبیه سازی است. همچنین بررسی وضعیت جریانهای دبی شبیه سازی شده نیز به کمک نمایه های تحلیلی جریان NLF، mFDC، MSAR، HF، NHF، CV و NHF انجام شد. در این روال داده های هواشناسی و آب شناسی دما، تبخیر و تعرق، بارش و دبی در مقیاس روزانه از سازمانهای مربوطه تهیه و پس از اعتبارسنجی مقدماتی و ترمیم گپ های موجود به دو بخش آموزش (۷۰٪) و تست (۳۰٪) تقسیم بندی شدند. بر این اساس، حدود ۱۰٪ از داده های ابتدایی هر گام (آموزش و تست) به عنوان تعادل سنجی (گرم کردن مدل) انتخاب و شبیه سازی بارش-رواناب انجام گرفت. لازم به توضیح است که منطقه مورد مطالعه در تحقیق حاضر برمبنای

تغییرات است مدل ها (به استثنای مدل TANK در گام آموزش) نتایج قابل قبولی ارایه نکردن. لیکن با توجه به نتایج حاصل، مدل های مذکور پس از انجام تست های مقدماتی در شرایط متفاوت اقلیمی کشور، می توانند به عنوان شبیه سازهای قابل قبول جهت مدیریت منابع آبی خصوصا در حوزه های فاقد اطلاعات آماری مورد استفاده قرار گیرند. همچنین در صورت فرآهمی اطلاعات موجود، می توان با ارتقای بدنه مدل های مورد مطالعه از حالت یکپارچه به توزیعی و همچنین با درنظر گرفتن خصوصیات اکولوژیک و هیدرولوژیک منطقه مطالعاتی، کارایی شبیه سازی را به طور موثرتری ارتقا بخشید.

بدست آمد. برترین شبیه سازی انجام شده از ضرب تغییرات جریان به ترتیب برای گام های آموزش و تست توسط مدل AWBM (با $+0.2\%$ و $+0.5\%$ اختلاف نسبت به مقدار مشاهداتی) بدست آمد. همچنین، برترین شبیه سازی انجام شده از هیدروگراف نیز به ترتیب برای گام های آموزش و تست توسط مدل TANK (با -0.2% اختلاف نسبت به مقدار مشاهداتی) و مدل AWBM (با -0.8% اختلاف نسبت به مقدار مشاهداتی) بدست آمد. به طور کلی شبیه سازی های انجام شده در مقادیر دبی کم آبی (به استثنای مدل TANK)، متوسط و پرآبی جریان با تطابق قابل قبولی انجام شده است. این در صورتی است که شبیه منحنی تداوم جریان که به نوعی بیانگر شدت

References:

- Allen, R.G., Pereira, L.S., Raes, D., Smith, M., 1998. Crop evapotranspiration guidelines for computing crop water requirements. FAO Irrigation and drainage paper 56. Food and Agriculture Organization, Rome, Italy.
- Beven, K., Binley, A., 2014. GLUE: 20 years on. HYDROLOGICAL PROCESSES Hydrol.Process. 28, 5897–5918.
- Bormann, B., Breuer, L., Giertz, S., Huisman, J.A., Viney, N.R., 2009. Uncertainties in Environmental Modelling and Consequences for Policy MakingPart of the series NATO Science for Peace and Security Series C: Environmental Security. Chapter: Spatially explicit versus lumped models in catchment hydrology – experiences from two case studies, 3-26.
- Chai, T., Draxler, R. R., 2014. Root mean square error (RMSE) or mean absolute error (MAE)? Arguments against avoiding RMSE in the literature. Journal of Geoscience, Model Development 7, 1247–1250.
- Collopy, F., Armstrong, J. S., 1992. Rule-based forecasting: development and validation of an expert Systems approach to combining time series extrapolations. Management Science 38, 1394–1414.
- Duan, Q., 2003. Global optimization for watershed model calibration. In: Calibration of Watershed Models (ed. by Q. Duan, H. V. Gupta, S. Sorooshian, A. N. Rousseau & R. Turcotte), 89–104. Water Science and Application 6, Am. Geophys. Union, Washington DC, USA.
- Ekenberg, M., 2016. Using a lumped conceptual hydrological model for five different catchments in Sweden. Master's thesis Physical Geography and Quaternary Geology, University of Stockholm.
- FAO. 1996. Irrigation and Drainage paper, Guideline for predicting Crop water Requirements. Food and Agriculture Organization of the United Nations, Rome. 154p.
- Goldberg, D. E., 1989. Genetic Algorithms in Search, Optimization, and Machine Learning. Addison Wesley, Boston, USA.

Goodarzi M. R., Zahabiyoun, B., Massah Bavani, A. R., Kamal .A. R., 2012. Performance comparison of three hydrological models SWAT, IHACRES and SIMHYD for the runoff simulation of Gharesou basin. Water and Irrigation Management, 2(1). Spring 2012.(In Persian).

Gooijer, J. G D., Hyndman, R. J., 2006. 25 Years of Time Series Forecasting. International journal of forecasting 22, 443-473.

Goswami, M., o'Connor, K, M., 2007. Comparative assessment of six automatic optimization techniques for calibration of a conceptual rainfall—runoff model, Hydrological Sciences Journal52:3, 432-449.

Heryansyah, A., 2001. Application of tank model on runoff and water quality for land uses management in Cidanau watershed. Master's Thesis. Bogor Agricultural University. Bogor. Indonesia.

Holland, J. H., 1975. Adaptation in Natural and Artificial Systems. The University of Michigan Press, Ann Arbor, USA.

Li,Cz., Hao, W., Jia, L., Yan, Dh.,Yu, Fl., Zhang,Lu., 2010. Effect of calibration data series length on performance and optimal parameters of hydrological model. Water Science and Engineering 3(4), 378-393.

Nash, J. E., Sutcliffe, J. V., 1970. River flow forecasting through conceptual models, Part 1, A discussion of principles. J. Hydrol 10, 282–290.

Podger, G., 2005. Rainfall Runoff Library (RRL). Catchment Modeling Toolkit prepared by the © CRC for Catchment Hydrology, Australia. Pp: 110.

Sheikh Goodarzi, M., 2013. General review of ecosystem based hydrological modeling technics. PhD Seminar, Department of Environment, University of Tehran, Iran. 59p.

USGS. 2008. Calculating Flow-Duration and Low-Flow Frequency Statistics at Streamflow-Gaging Stations. U.S. Department of the Interior, Scientific investigation report 2008-5126.

Verstraeten, W.W., Muys, B., Feyen, J., Veroustraete, F., Minnaert, M., Meiresonne, L., De Schrijver, A., 2005. Comparative analysis of the actual evapotranspiration of Flemish forest and cropland, using the soil water balance model WAVE. Hydrol Earth Syst Sci 9, 225–241.

Viglione, A., Parajka, J., Rogger, M., Salinas, J. L., Laaha, G., Sivapalan, M., Bl'oschl, G., 2013. Comparative assessment of predictions in ungauged basins – Part 3: Runoff signatures in Austria. Journal of Hydrol. Earth Syst. Sci 17, 2263–2279.

Willmott , C., Matsuura, K., 2005. Advantages of the Mean Absolute Error (MAE) over the Root Mean Square Error (RMSE) in assessing average model performance, Clim. Res 30, 79–82.